

МАГНИТНЫЕ СВОЙСТВА МОНОКРИСТАЛЛИЧЕСКОГО КВАЗИКРИСТАЛЛА СИСТЕМЫ Al-Pd-Mn

A.A.Ремпель¹⁾, С.З.Назарова, А.И.Гусев¹⁾

Институт химии твердого тела Уральского отделения РАН
620219 Екатеринбург, Россия

Поступила в редакцию 6 июля 2000 г.

В интервале температур от 4 до 1100 К измерена магнитная восприимчивость монокристаллического икосаэдрического квазикристалла $Al_{70.2}Pd_{21.3}Mn_{8.5}$. Показано, что восприимчивость квазикристалла включает температурно-независимый диамагнитный вклад и температурно-зависимый парамагнитный вклад Кюри и парамагнитный вклад Паули для электронной системы с энергетической щелью. Анализ низкотемпературной восприимчивости обнаружил наличие в квазикристалле при 4 К около 0.008% ионов с магнитным моментом $4\mu_B$. Предположено, что ионы с нескомпенсированным магнитным моментом появляются вблизи структурных вакансий в решетке квазикристалла. Оценены ширина энергетической щели $\Delta = 0.64\text{эВ}$ между валентной зоной и зоной проводимости и эффективная масса носителей заряда, равная примерно 70 массам электрона.

PACS: 61.44.+p; 75.20.-g

С момента экспериментального обнаружения квазикристаллического состояния твердого тела [1] оно постоянно привлекает исследователей. Структура квазикристаллов не имеет трансляционной симметрии [2], и поэтому они обладают необычными механическими, электрическими [3, 4] и магнитными [4, 5] свойствами. Ключом к пониманию стабильности квазикристаллов является выяснение роли атомных дефектов (вакансии в разных подрешетках, свободные объемы, вакансационные кластеры) в их структуре [6] и свойствах. Заметное влияние на свойства квазикристаллов оказывают примесные дефекты.

Магнитные свойства и электронная структура квазикристаллов как нового класса веществ до сих пор однозначно не определены. Актуальными остаются вопросы о том, к какому типу проводников (металлы или полупроводники) и магнетиков относятся квазикристаллы, каким образом отсутствие трансляционной симметрии кристаллической структуры, наличие осей симметрии 5-го порядка и размытой в связи с этим поверхности Ферми отражается на электронной структуре квазикристаллов. Для ответа на эти вопросы полезны исследования магнитных свойств особо чистых и бездефектных монокристаллических квазикристаллов. Стабильные икосаэдрические фазы обнаружены в нескольких тройных системах алюминия с такими элементами как Cu, Fe, Ru, Pd, Re, Mn и Si.

В связи с этим в настоящей работе изучена магнитная восприимчивость χ высокочистого монокристаллического образца квазикристалла $Al_{70.2}Pd_{21.3}Mn_{8.5}$ с икосаэдрической структурой, которая удовлетворительно описывается модельной структурой Бодарда [7]. Монокристалл $Al_{70.2}Pd_{21.3}Mn_{8.5}$ с минимальным содержанием примесей, не превышающим 1 ат.%, и пористостью менее 5% выращен методом Чохральского в Institut für Festkörperforschung (Forschungszentrum Jülich GmbH, Germany).

¹⁾ e-mail: rempel@ihim.uran.ru, gusev@ihim.uran.ru

Магнитные измерения в интервале температур 4-300 К выполнены на вибромагнитометре MPMS-XL-5 Quantum Design, а при температуре от 300 до 1000 К восприимчивость измеряли методом Фарадея на маятниковых магнитных весах типа Доменикали. Низкотемпературные измерения проводили в магнитных полях до 50 кЭ с ориентацией оси второго порядка монокристалла вдоль и перпендикулярно направлению поля. При температуре выше 300 К магнитную восприимчивость χ измеряли в полях от 7.2 до 8.8 кЭ на порошке того же самого монокристалла.

На рис.1 для температуры 300 К показаны результаты измерений намагченности σ при разной ориентации монокристалла $\text{Al}_{70.2}\text{Pd}_{21.3}\text{Mn}_{8.5}$ относительно направления магнитного поля. Изменение ориентации оси 2-го порядка монокристалла с параллельной направлению поля H на перпендикулярную приводит к слабому изменению величины восприимчивости от $-0.39 \cdot 10^{-6}$ до $-0.37 \cdot 10^{-6} \text{ см}^3 \cdot \text{г}^{-1}$. Ранее анизотропию магнитной восприимчивости монокристаллического квазикристалла $\text{Al}_{70.5}\text{Pd}_{21.1}\text{Mn}_{8.4}$, состав которого близок к исследованному нами, наблюдали авторы [8]. При температуре 200 К восприимчивость монокристалла с ориентацией параллельно полю H оси 2-го и 5-го порядков составила $-0.15 \cdot 10^{-6}$ и $+0.16 \cdot 10^{-6} \text{ см}^3 \cdot \text{г}^{-1}$, соответственно. Таким образом, измерения обнаружили слабую кристаллографическую анизотропию восприимчивости монокристаллического квазикристалла $\text{Al}_{70.2}\text{Pd}_{21.3}\text{Mn}_{8.5}$. На последующих рисунках все результаты измерений приведены для случая, когда ось второго порядка монокристалла совпадает с направлением поля.

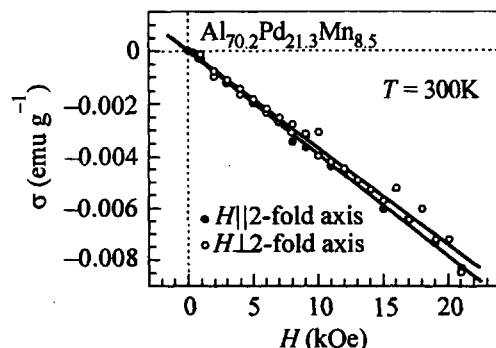


Рис.1. Разный наклон зависимостей $\sigma(H)$ при ориентации оси 2-го порядка квазикристалла параллельно и перпендикулярно направлению магнитного поля H свидетельствует о небольшой анизотропии намагченности квазикристалла

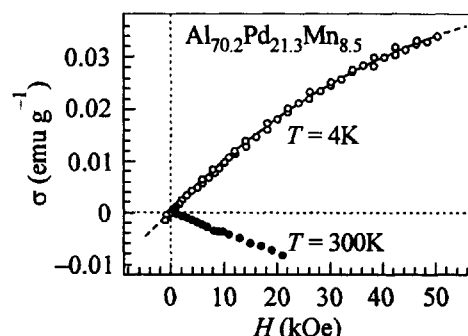


Рис.2. Зависимость намагченности σ квазикристалла $\text{Al}_{70.2}\text{Pd}_{21.3}\text{Mn}_{8.5}$ от напряженности H магнитного поля при 4 и 300 К. Нелинейный характер зависимости $\sigma(H)$, измеренной при температуре 4 К в полях $H > 20$ кЭ, обусловлен криомагнитной аномалией. Сплошная линия – аппроксимация зависимости $\sigma(H)$ функцией (2). Относительная концентрация n ионов, обладающих магнитным моментом $\sim 4\mu_B$, равна $8.1 \cdot 10^{-5}$

Измерения показали, что на температурной зависимости магнитной восприимчивости $\chi(T)$ явно выделяются два участка с противоположным изменением восприимчивости как функции температуры. Резкое убывание восприимчивости на низкотемпературном (при $T < 300$ К) участке характерно для парамагнитной составляющей типа Кюри $\chi = C/T$.

Рассмотрим более подробно низкотемпературный участок зависимости $\chi(T)$. Часто при интерпретации магнитных измерений наличие низкотемпературного парамагнитного “хвоста” объясняют наличием ферромагнитных примесей. Для выяснения того, имеются ли в образце ферромагнитные примеси, мы измерили зависимость намагченности σ от напряженности H магнитного поля. Измерения показали, что квазикристалл не обладает остаточной намагченностью, так как функции $\sigma(H)$, построенные для разных температур, проходят через начало координат (рис.2). Это свидетельствует об отсутствии в изученном образце ферромагнитных примесей, поэтому обнаруженная в восприимчивости парамагнитная составляющая типа Кюри обусловлена, скорее всего, особенностями структуры квазикристалла.

Наблюдаемая нелинейность зависимости $\sigma(H)$, измеренной при 4 К в полях с напряженностью более 20 кЭ, связана с приближением намагченности к насыщению, то есть с криомагнитной аномалией. Без учета пространственного квантования и взаимодействия атомов намагченность единицы объема описывается зависимостью [9]

$$\sigma_V(H) = Nn\mu L(\mu H/k_B T), \quad (1)$$

где N – число атомов в единице объема; n – относительная концентрация атомов, обладающих магнитным моментом; $\mu = \mu_B$ – магнитный момент; $L(x) = (cthx - 1/x)$ – функция Ланжевена. Легко видеть, что при низкой температуре и в сильных полях, когда $\mu H \gg k_B T$, функция Ланжевена $L(x) \rightarrow 1$, вследствие чего намагченность σ_V выходит на насыщение. С учетом того, что $N = N_A \rho / M$ (N_A – число Авогадро, ρ – плотность; M – молекулярная масса) и измеренная намагченность единицы массы равна $\sigma = \sigma_V / \rho$, выражение (1) можно преобразовать к виду, описывающему намагченность единицы массы:

$$\sigma(H) = (N_A / M) n \mu_B L(\mu_B H / k_B T). \quad (2)$$

При расчете параметров функции (2) в измеренную намагченность вводили поправку на температурно-независимый диамагнитный вклад, поэтому в правой части функции (2) учитывали дополнительное слагаемое $\chi_0 H$. Выполненный расчет показал, что экспериментальная зависимость $\sigma(H)$ для $T = 4$ К хорошо описывается функцией (2) с параметрами $p = 3.99$ и $n = 8.1 \cdot 10^{-6}$. Таким образом, при температуре 4 К около 0.008% всех атомов в квазикристалле обладают нескомпенсированным магнитным моментом, равным приблизительно $4\mu_B$. Такая величина магнитного момента наиболее соответствует иону Mn^{4+} [9] и может быть связана с нескомпенсированным магнитным моментом тех атомов Mn, которые находятся вблизи дефектов кристаллической структуры или в узлах кристаллической решетки, принадлежащих атомам другого сорта. С учетом содержания Mn в квазикристалле, при 4 К магнитный момент $4\mu_B$ имеет один атом марганца из 1000. Наличие атомных дефектов в решетке изученного квазикристалла подтверждается экспериментами по аннигиляции позитронов [6]. Действительно, измеренное время жизни позитронов 214 ± 4 пс свидетельствует о наличии в квазикристалле структурных вакансий, то есть незанятых атомами узлов решетки.

Изменение магнитной восприимчивости квазикристалла при температуре ниже 300 К показано на рис.3. Измеренная зависимость $\chi(T)$ хорошо описывается функцией Кюри с температурно-независимым диамагнитным вкладом. При температуре ниже 30 К наблюдается меньший, чем следует из закона Кюри, рост восприимчи-

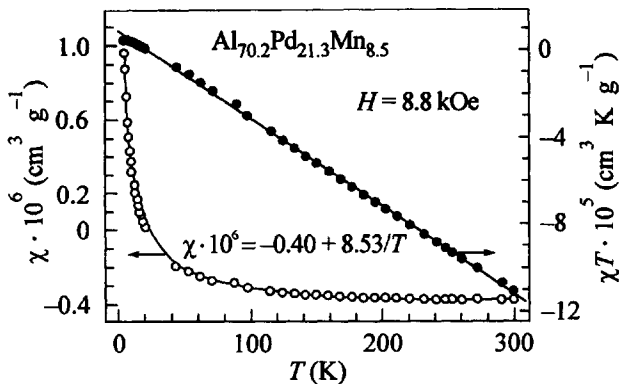


Рис.3. Низкотемпературная магнитная восприимчивость χ моно-кристаллического квазикристалла $\text{Al}_{70.2}\text{Pd}_{21.3}\text{Mn}_{8.5}$. Нелинейность зависимости χT при температуре ниже 30 К обусловлена криомагнитной аномалией. Измерения выполнены в поле $H = 8.8$ кЭ

ности. Это отклонение связано с описанной криомагнитной аномалией. В интервале температур от 4 до 20 К константа Кюри C равна $5.13 \cdot 10^{-6} \text{ см}^3 \cdot \text{К} \cdot \text{г}^{-1}$, а для более широкого и высокотемпературного интервала 20 – 300 К $C = 8.53 \cdot 10^{-6} \text{ см}^3 \cdot \text{К} \cdot \text{г}^{-1}$. Для интервала температур 4 – 300 К константа Кюри C равна $8.03 \cdot 10^{-6} \text{ см}^3 \cdot \text{К} \cdot \text{г}^{-1}$.

Общий вид зависимости $\chi(T)$ в интервале температур от 4 до 1000 К, измеренной в поле $H = 8.8$ кЭ, изображен на рис.4. Второй участок зависимости $\chi(T)$ соответ-

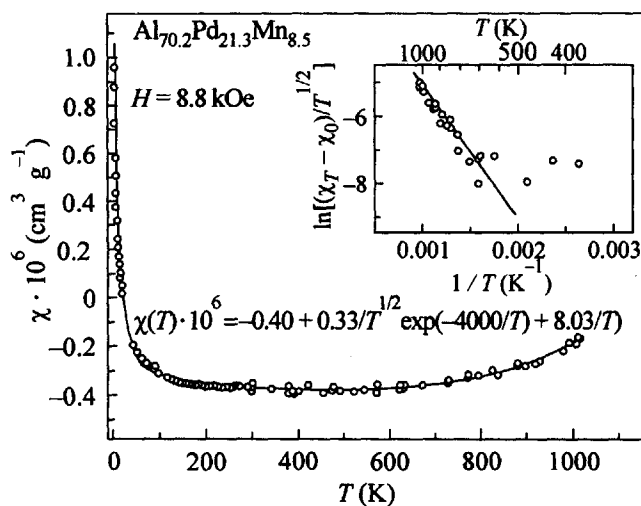


Рис.4. Изменение магнитной восприимчивости квазикристалла $\text{Al}_{70.2}\text{Pd}_{21.3}\text{Mn}_{8.5}$ в области температур от 4 до 1000 К. На вставке приведена зависимость высокотемпературной восприимчивости от $1/T$. Аппроксимация зависимости $\chi(T)$ функцией (5) показана сплошной линией

ствует температурам выше 300 К. Для этого участка характерен нелинейный рост восприимчивости, что означает усиление параметризма системы с ростом температуры. Численный анализ показал, что в интервале температур 300 – 1000 К магнитная восприимчивость $\chi(T) \propto T^{1/2} \exp(-B/T)$. Зависимость такого вида характерна для полупроводников, когда термически активированные носители заряда образуют невырожденный электронный газ и подчиняются статистике Больцмана. Согласно [9, 10], в этом случае концентрация электронов в полосе проводимости описывается функцией

$$n_e = 2(m^*)^{3/2} (k_B T / 2\pi\hbar^2)^{3/2} \exp(-\Delta/2k_B T), \quad (3)$$

где m^* – эффективная масса электрона; Δ – ширина энергетической щели между валентной зоной и зоной проводимости. Тогда в соответствии с формулой Кюри $\chi_p(T) = n_e(\mu_B)^2/k_B T$ часть магнитной восприимчивости, зависящая от температуры, будет иметь парамагнитную составляющую вида

$$\chi_p(T) = 2(m^*/2\pi\hbar^2)^{3/2}(k_B)^{1/2}(\mu_B)^2 T^{1/2} \exp(-\Delta/2k_B T) \equiv AT^{1/2} \exp(-B/T), \quad (4)$$

где $A = 2(m_0/2\pi\hbar^2)^{3/2}(k_B)^{1/2}(\mu_B)^2 q^{3/2} = 3.008 \cdot 10^{-9} q^{3/2} [\text{К}^{-1/2}]$; $q = m^*/m_0$; m_0 – масса электрона; $B = \Delta/2k_B$. Заметим, что формула (4) описывает безразмерную восприимчивость единицы объема. С учетом отмеченных особенностей зависимости $\chi(T)$ измеренная массовая восприимчивость квазикристалла во всем исследованном температурном интервале от 4 до 1000 К была аппроксимирована функцией

$$\chi(T) = \chi_0 + A_m T^{1/2} \exp(-B/T) + C/T, \quad (5)$$

учитывающей температурно-независимый вклад χ_0 , температурно-зависимый парамагнитный вклад Паули для электронной системы с энергетической щелью и парамагнитный вклад Кюри. Коэффициент $A_m = A/\rho$, где $\rho = 5.37 \text{ г} \cdot \text{см}^{-3}$ – плотность квазикристалла $\text{Al}_{70.2}\text{Pd}_{21.3}\text{Mn}_{8.5}$.

Температурно-независимый вклад $\chi_0 = -0.40 \cdot 10^{-6} \text{ см}^3 \cdot \text{г}^{-1}$ функции (5) является диамагнитным и определяется диамагнетизмом атомных остовов Al, Pd, и Mn.

Эффективный магнитный момент μ_{eff} , соответствующий константе Кюри $C = 5.13 - 8.53 \cdot 10^{-6} \text{ см}^3 \cdot \text{К} \cdot \text{г}^{-1}$ и вычисленный с учетом плотности квазикристалла, равен всего лишь $\sim 0.04 - 0.06 \mu_B$. Этот магнитный момент является результатом усреднения по всем атомам квазикристалла. Поскольку относительная концентрация магнитных ионов $n = 8.1 \cdot 10^{-5}$, то с ее учетом величина магнитного момента, определенная из константы Кюри $C = 5.13 \cdot 10^{-6} \text{ см}^3 \cdot \text{К} \cdot \text{г}^{-1}$ для области низких температур, равна $\sim 4.8 \mu_B$. Таким образом, результаты обработки полевой и температурной зависимостей восприимчивости неплохо согласуются между собой.

Коэффициент A_m зависимости (5) равен $0.33 \cdot 10^{-6} \text{ см}^3 \cdot \text{г}^{-1} \cdot \text{К}^{-1/2}$. Абсолютную эффективную массу носителей можно оценить по формуле

$$m^* = (2A^2)^{1/3} \pi \hbar^2 (k_B \mu_B^4)^{-1/3} \equiv [2(A_m \rho)^2]^{1/3} \pi \hbar^2 (k_B \mu_B^4)^{-1/3} \quad (6)$$

или через массу m_0 электрона:

$$m^* = 4.799 \cdot 10^5 A^{2/3} m_0 \equiv 4.799 \cdot 10^5 (A_m \rho)^{2/3} m_0, \quad (7)$$

используя величину коэффициента $A = A_m \rho$. Оценка показала, что эффективная масса достаточно велика и составляет $\sim 70 m_0$. Большая эффективная масса электронов подтверждает правомерность использования классической статистики Больцмана для описания невырожденного электронного газа. Величина энергетической щели между валентной зоной и зоной проводимости мала и равна $\Delta = 2k_B B = 0.64 \text{ эВ}$. Совокупность полученных данных позволяет рассматривать исследованный квазикристалл $\text{Al}_{70.2}\text{Pd}_{21.3}\text{Mn}_{8.5}$ как узкощелевой полупроводник.

Таким образом, в настоящей работе установлено наличие в квазикристалле структурных дефектов. Это может приводить к появлению примесных уровней в запрещенной зоне. В частности, предположение о тонкой структуре запрещенной зоны высказано в работе [11] на основе значительного разброса точек зависимости

$\ln[(\chi_T - \chi_0)/T^{1/2}]$ от $1/T$, полученной при измерении магнитной восприимчивости квазикристалла $\text{Al}_{62.0}\text{Cu}_{25.5}\text{Fe}_{12.5}$ при $T < 50$ К. Авторы [11] предположили, что параметр активации носителей вблизи уровня Ферми в слое 0.1 эВ принимает ряд дискретных значений с расстоянием между ними в несколько десятков мэВ. Однако в настоящей работе кривая зависимости $\ln[(\chi_T - \chi_0)/T^{1/2}]$ от $1/T$ является гладкой (некоторый разброс точек наблюдается только при высокой температуре около 400 К) и поэтому о тонкой структуре щели говорить нельзя. Для исследования примесных уровней или тонкой структуры щели необходимы спектроскопические измерения.

Авторы благодарят Н.-Е.Schaefer'а за обсуждение результатов, B.Grushko за предоставление образца и А.В.Королева за помощь в проведении эксперимента.

-
1. D.Shechtman, I.Blech, J.Cahn, and D.Gratis, Phys. Rev. Lett. **53**, 1951 (1984).
 2. D.Shechtman and I.Blech, Metal. Trans. **16A**, 1005 (1985).
 3. S.L.Poon, Adv. Physics **41**, 303 (1992).
 4. *Lectures on Quasicrystals*, Eds. F.Hippert and D.Gratis, Les Ulis (France): Les Editions de Physique, 1994.
 5. R.Bellissent, F.Hippert, P.Monod, and F.Vigneron, Phys. Rev. **B36**, 5540 (1987).
 6. F.Baier, A.Rempel, R.Würschum, and H.-E.Schaefer, in *Quasicrystals at Strasbourg (1-3 April 1998 Joint Colloquium of GDR-CINQ and SPQK)*, Strasbourg, Universite L. Pasteur, 1998, p.18.
 7. M.Boudard, M.de Boissieu, C.Janot et al., J. Phys.: Condens. Matter **4**, 10149 (1992).
 8. M.Rodmar, M.Ahlgren, C.Berger et al., Czechoslovak. J. Phys. **46** (suppl.S5), 2703 (1996).
 9. С.В.Вонсовский, Магнетизм, Наука, Москва, 1971.
 10. J.S.Blaikmore, *Solid State Physics*, Cambridge, Cambridge University Press, 1985.
 11. А.Ф.Прекул, Н.Ю.Кузьмин, Н.И.Щеголихина, Письма в ЖЭТФ **69**, 206 (1999).